

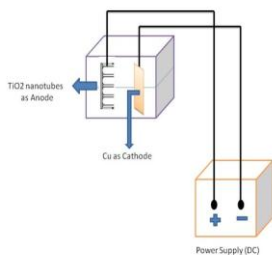


## ۱- مقدمه

محدوده‌ی تابش فرابنفش (با طول موج کمتر از ۳۸۷ nm) توسط آن قابل جذب است و می‌تواند موجب ایجاد الکترون-حفره در سطح نانولوله و در نتیجه باعث تجزیه‌ی معرف و یا آلاینده‌ی شیمیایی بشود [۱۰]. برای افزایش جذب نور نانو لوله های  $TiO_2$  در ناحیه مرئی یکی از راههای پیشنهادی استفاده از نانو ذرات پلاسمونیک طلاست. وقتی تعداد زیادی از الکترون‌های متحرک متعلق به نانو ذره فلزی از حالت تعادل خارج شوند پلاسمون به وجود می‌آید. به دلیل شباهت نانو ذرات فلزی و پلاسما (به خاطر تعداد مساوی الکترون‌های دارای بار منفی وهسته‌های دارای بار مثبت)، در اثر برخورد تابش الکترومغناطیس، الکترون‌های آزاد فلزی در یک فرکانس پلاسمایی خاص نسبت به یون‌های مثبت نوسان می‌کنند. فرکانس نوسان برای نانو ذرات طلا در ناحیه مرئی رخ می‌دهد و باعث به وجود آمدن طیف جذبی قوی در این ناحیه می‌گردد. با تغییر اندازه و شکل نانو ذرات، پیک پلاسمون و رنگ آن‌ها نیز تغییر می‌کند. استفاده از نانوذرات پلاسمونیک طلا بمنظور بهبود ناحیه جذب این نانوساختارها به ناحیه مرئی پیشنهاد می‌شود. و نهایتاً تقابلاً بازدهی فعالیت فوتوکاتالیستی را خواهیم داشت.

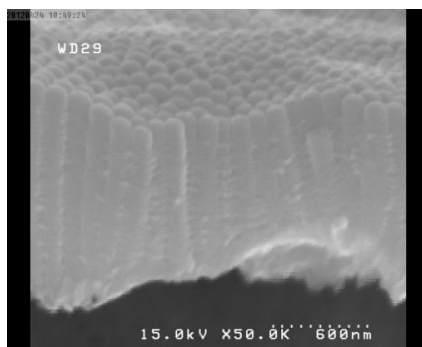
## ۲- روش تهیه نمونه

نانو لوله‌های دی اکسید تیتانیوم با استفاده از روش آندیزاسیون تهیه شد. در این روش دو الکتروود داریم. اولی ورق نازکی از دی‌اکسید تیتانیوم (آند)، که در ابتدا با استفاده از دستگاه سونیکاتور چربی زدایی گردیده و به قطب مثبت متصل میگردد. دومین الکتروود میتواند از جنس‌های مختلفی باشد مانند پلاتین، مس و گرافیت که ما در اینجا از ورق مسی استفاده کردیم. این دو الکتروود در الکتروولیت درون الکتروولیت DI:EG به نسبت ۱۰:۹۰ شامل ۰.۱M آمونیوم فلوراید قرار میگیرند. پتانسیل اعمالی برای تشکیل نانولوله‌ها ۵۰ ولت در مدت زمان ۲۰۰ دقیقه است.



شکل ۱: سلول الکترو شیمیایی برای اکسیداسیون Ti.

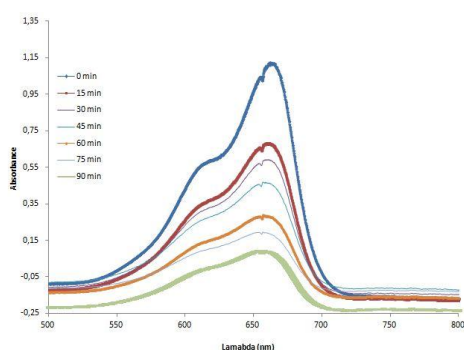
ساختار یک بعدی نانولوله های اکسید تیتانیوم به دلیل نسبت بالای سطح به حجم ( $A/V$ ) دارای خواص مفید و منحصر به فردی در مقایسه با توده آن می باشند. طبیعت آرایه ای دقیق این نانوساختارهای یک بعدی منظم، آنها را به مسیرهای مناسب و موثر نفوذ برای انتقال الکترون بین سطوح تبدیل کرده است.  $TiO_2$ ، به دلیل پایداری عالی شیمیایی و فوتوشیمیایی و همچنین خواص فوتوکاتالیستی خوب، همواره به عنوان گزینه ای مناسب برای ایجاد ساختار نانولوله ای مورد استفاده قرار گرفته است [۱]. اخیراً، آرایه نانولوله های اکسید تیتانیوم (TNA) که توسط روش اکسیداسیون آندی سنتز شده اند در گستره وسیعی از کاربردها مورد استفاده قرار گرفته اند. کاربردها عبارتند از: سنسورها [۲]، الکترولیز آب [۳]، فرایندهای فوتوکاتالیستی و تولید دارو از تجزیه بافت های آلی [۴] و دستگاه های فوتونیک [۵] و غیره. نانولوله های اکسید تیتانیوم را تاکنون با روش های مختلفی از جمله سل ژل [۶]، رسوب دهی شیمیایی فاز بخار اورگانیک های فلزی (MOCVD) [۷] ساخته اند. اما ساخت TNA با روش اکسیداسیون آندی فلز تیتانیوم از طریق بهینه کردن pH، غلظت و ترکیب الکتروولیت، پتانسیل اعمالی، زمان و دمای الکتروولیت، یکنواختی و کنترل پذیری بسیار بالایی در مقایسه با دیگر روش های مذکور دارد. اکسیداسیون آندی که در آن حل شدن شیمیایی موضعی با اکسیداسیون ناشی از اعمال میدان و واکنش های تجزیه رخ می دهد، شرایط را برای تشکیل آرایه ای از نانولوله های  $TiO_2$  بصورت منظم و خودآرا را به وجود می آورد [۸]. مطالعه ای دی اکسید تیتانیوم به عنوان فوتوکاتالیزور در سال ۱۹۷۲ توسط فوجیشیما و هوندا [۹]، آغاز و برای تجزیه ی آب بکار برده شد. بعد از آن، تحقیقات قابل توجهی از هر دو جنبه ی بنیادی و کاربردی بر روی فوتوکاتالیزور دی اکسید تیتانیوم انجام شد. نانولوله دی اکسید تیتانیوم یک فوتوکاتالیزور قوی برای تجزیه ی آلوده کننده های اصلی در آب و هوا است اما اشکال عمده ی نانولوله دی اکسید تیتانیوم در استفاده ی غیر موثر از تابش مرئی به عنوان منبع تابش است، زیرا شکاف نواری دی اکسید تیتانیوم در فاز آنا تاژ ( $3/2$  الکترون ولت) نسبتاً بزرگ بوده بطوری که فقط طول موج های واقع در



شکل ۳: نمای عرضی نمونه TNA

### ۳-۲- آنالیز XRD

همانطور که در شکل ۴ نمایان است، ساختار TNA بعد از عملیات پخت به فاز کریستالی آناتیس با پیک مشخصه (۱۰۱) موجود در زاویه  $2\theta$  ۲۵ $^\circ$  تغییر فاز می دهد و همچنین فاز کریستالی روتایل با پیک مشخصه (۱۱۰) در زاویه  $2\theta$  ۳۷ $^\circ$  مشاهده نمی شود. با توجه به تحقیقات انجام شده، فاز کریستالی روتایل در انتهای لایه سدی حضور دارد. در حالیکه خود نانو لوله ها در فاز کریستالی آناتیس می باشند علاوه بر این پیکهای دیگری به جز پیکهای مربوط فاز کریستالی نانولوله های تیتانیا نیز در شکل ۴ مشاهده می شود که مربوط به زیر لایه تیتانیوم (Ti) با فاز کریستالی hcp می باشند.



شکل ۴: الگوی XRD نمونه TNA، پیک ها زیر لایه Ti، آناتیس و روتایل به ترتیب با A، T و R نشان داده شده است.

### ۴- بررسی خواص نوری نمونه ها با استفاده از

#### تست تجزیه متیلن بلو

فعالیت فوتوکاتالیستی نانولوله های دی اکسید تیتانیوم توسط تست تجزیه متیلن بلو بررسی شد. متیلن بلو دارای یک پیک اصلی در طول موج ۶۵۵ نانومتر است. با تابش نور خورشید متیلن بلو تجزیه شده و با گذشت زمان شدت جذب پیک کاهش پیدا می کند. در این تحقیق مقداری از متیلن بلو با غلظت  $2\mu\text{M}$  را داخل کورت ریخته و سپس نمونه های تهیه شده از نانو لوله های دی اکسید تیتانیوم با ابعاد یکسان را در آن قرار می دهیم.

بعد از مرحله اکسیداسیون و ساخت، نمونه ها در دمای ۵۰۰ به مدت ۸۰ دقیقه و با آهنگ گرم کردن نمونه  $9.5^\circ\text{C}/\text{min}$  در هوا پخته گردیدند. سپس بمنظور بهبود فعالیت فوتوکاتالیستی، نانولوله های دی اکسید تیتانیوم به دو روش، با استفاده از نانو ذرات پلاسمونیک طلا لایه نشانی شدند.

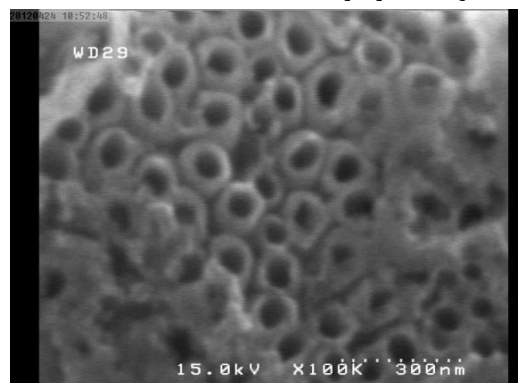
۱- روش لایه نشانی چرخشی: در این روش لایه ای از طلا با ضخامت ۱۰ نانومتر بر روی نمونه ها لایه نشانی شد.

۲- ته نشینی رسوب: بدین منظور محلول طلا با غلظت  $2 \times 10^{-3} \text{ M HAuCl}_4 \cdot 3\text{H}_2\text{O}$  (Alfa Aesar, 99.99%) با محلول سود با غلظت  $8.8 \times 10^{-3} \text{ M NaOH}$  (Flakes, Fisher scientific) که هر دو در ۲۵ میلی لیتر آب DI تهیه شدند، مخلوط گردیده که در نتیجه ما ۵۰ میلی لیتر محلول از مخلوط فوق را خواهیم داشت. نمونه های ساختار TNA سریعاً در این محلول قرار داده شدند و در آن در دمای  $140^\circ\text{C}$  برای ۱ ساعت قرار دادیم. بعد از لایه نشانی نمونه ها با مقدار زیادی آب DI برای ۲۰-۱۰ ثانیه شسته و در هوا خشک گردید.

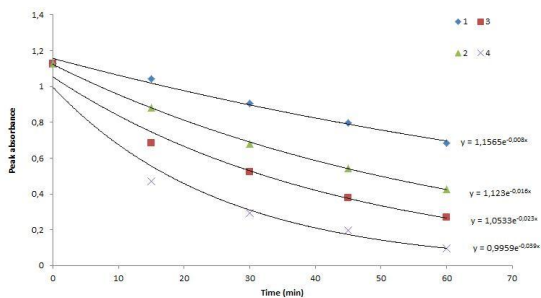
### ۳- بحث و نتایج

#### ۳-۱- آنالیز SEM و بررسی مورفولوژی سطح

به منظور بررسی و مطالعه مورفولوژی و چگونگی بافت بندی سطح لایه نازک نانوساختار TNA از آنالیز میکروسکوپ الکترونی روبشی (SEM) استفاده گردید. لازم به ذکر است که آنالیز SEM برای چگونگی بافت بندی نمونه ها بکار گرفته شده است.



شکل ۲: نمای فوقانی نمونه TNA



شکل ۷: شیب کاهش شدت قله برای نمونه‌های مختلف با گذشت زمان.

توضیح: (۱) MB (۲) MB به همراه TNA (۳) MB به همراه TNA اصلاح شده با نانو ذرات طلا به روش لایه نشانی چرخشی (۴) MB به همراه TNA اصلاح شده با نانو ذرات طلا به روش ته نشینی رسوب.

نمونه	۱	۲	۳	۴
شیب	۰.۰۰۰۸	۰.۰۱۶	۰.۰۲۳	۰.۰۳۹

جدول ۱: شیب برای نمونه‌های مختلف.

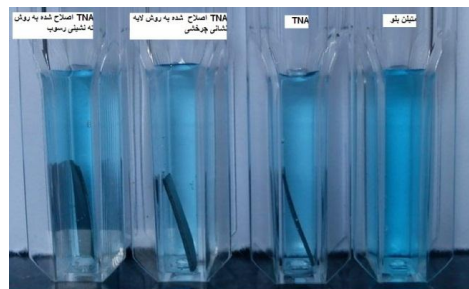
توضیح: (۱) MB (۲) MB به همراه TNA (۳) MB به همراه TNA اصلاح شده با نانو ذرات طلا به روش لایه نشانی چرخشی (۴) MB به همراه TNA اصلاح شده با نانو ذرات طلا به روش ته نشینی رسوب.

## ۵- نتیجه‌گیری

در این تحقیق نانو لوله های  $\text{TiO}_2$  با استفاده از روش آندیزلسیون تهیه و برای رسیدن به فاز آناز؛ دمای  $500^\circ\text{C}$  پخته گردیدند سپس نمونه ها برای افزایش فعالیت فوتوکاتالیستی به دو روش توسط نانو ذرات طلا آلییده شده اند استفاده از این پلاسمون‌های جایگزیده به دلیل حساسیت در ناحیه مرئی و تأثیری که این پلاسمون‌ها بر جذب نور مرئی دارند می‌تواند منجر به بهبود فوتوکاتالیستی گردد.

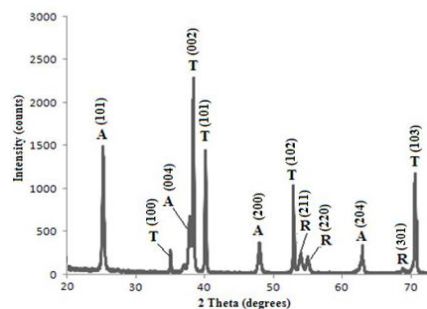
## مراجع

- [1] Zhang, Z., Y. Yuan, Y. Fang, L. Liang, H. Ding, G. Shi, L. Jin, 2007, *J. Electroanal. Chem.* **610**, 179.
- [2] Varghese, O. K., D. Gong, M. Paulose, K. G. Ong, E. G. Dickey, C. A. Grimes, 2003, *Adv. Mater.* **15**, 624.
- [3] Mor, G. K., K. Shankar, M. Paulose, O. K. Varghese, C. A. Grimes, 2005, *Nano Lett.* **5**, 191.86.
- [4] Stein, F. S., R. Hahn, J. F. Gnichwitz, Y. Y. Song, N. K. Shrestha, A. Hirsch, P. Schmuki, 2009, *Electrochem. Commun.* **11**, 2077.
- [5] Enachi, M., M. Stevens-Kalceff, I. Tiginyanu, V. Ursaki, 2010, *Mater. Lett.* **64**, 2155.
- [6] Jung, J. H., H. Kobayashi, K. J. C. van Bommel, S. Shinkai, T. Shimizu, 2002, *Chem. Mater.* **14**, 1445.
- [7] Zwillig, V., 1999, M. Aucouturier, E. D. Ceretti, *Electrochim. Acta* **45**, 921.
- [8] Rani, S., S. C. Roy, M. Paulose, O. K. Varghese, G. K. Mor, S. Kim, S. Yoriya, T. J. LaTempa, C. A. Grimes, 2010, *Phys. Chem.* **12**, 2780.
- [9] Fujishima, A., K. Honda, 1972, *Nature* **238**, 37.
- [10] Chen, X., S. Shen, L. Guo, S. S. Mao, 2010, *Chem. Rev.* **110**, 6503.



شکل ۵: نمونه های TNA و همچنین ساختار های اصلاح شده TNA که در محلول متیلن بلو قرار گرفته اند.

از نور خورشید بعنوان منبع نور استفاده گردید سپس هر ۱۵ دقیقه یکبار از نمونه‌های تلبش دیده، توسط دستگاه UV-Vis طیف جذبی تهیه شد همانطوری که در شکل ۶ مشاهده می‌شود با گذشت زمان شدت جذب پیک متیلن بلو در ۶۵۵ نانومتر برای نمونه های مختلف کاهش پیدا می‌کند.



شکل ۶: طیف جذب متیلن بلو با گذشت زمان برای نمونه TNA. برای نمونه‌های مختلف شدت قله اندازه‌گیری و بر حسب زمان رسم گردید همان طوری که در شکل ۷ مشاهده می‌شود شیب کاهش شدت قله برای نمونه‌های مختلف با گذشت زمان متفاوت است. با اندازه‌گیری شیب برای نمونه‌های مختلف اعداد زیر بدست آمدند که در جدول ۱ آورده شده است. بنابراین نانو لوله‌های دی‌اکسید تیتانیوم شیب کمتری نسبت به نانو لوله‌های اصلاح شده با نانو ذرات طلا به روش لایه نشانی چرخشی و به همین ترتیب دارای شیب کمتری نسبت به نانو لوله‌هایی دارد که با نانو ذرات طلا به روش ته نشینی رسوب لایه‌نشانی شده‌اند. بررسی رفتار فوتوکاتالیزوری نمونه ها به خوبی نشان دهنده افزایش ۴۴٪ رفتار فوتوکاتالیستی نانو لوله‌های دی اکسید تیتانیوم برای لایه نشانی ذرات طلا به روش چرخشی و ۱۴۳٪ برای لایه نشانی به روش ته نشینی رسوبی است. علت افزایش شیب در نمونه‌هایی که با نانو ذرات طلا به روش ته نشینی رسوب لایه نشانی شده‌است جایگزیدگی بیشتر نانو ذرات طلاست و همچنین نفوذ بیشتر نانو ذرات طلا به درون نانو لوله های  $\text{TiO}_2$  می‌باشد که حجم بیشتری از نانو لوله ها را تحت تاثیر افزایش میدان نزدیک نانو ذرات طلا قرار می‌گیرند استفاده از این پلاسمون‌های جایگزیده سطحی به دلیل حساسیت در ناحیه مرئی و تأثیری که این پلاسمون‌ها بر تولید الکترون حفره در  $\text{TiO}_2$  دارند منجر به بهبود فعالیت فوتوکاتالیستی می‌گردد.